



Низкие динамические потери  
 Малый заряд обратного восстановления  
 Разветвленный управляющий электрод для  
 высоких скоростей нарастания тока

## Быстродействующий Импульсный Тиристор Тип ТБИ473-1600-40

Средний прямой ток	$I_{TAV}$	1600 А
Повторяющееся импульсное напряжение в закрытом состоянии	$U_{DRM}$	3800 ÷ 4000 В
Повторяющееся импульсное обратное напряжение	$U_{RRM}$	
Время выключения	$t_q$	125; 160 мкс
$U_{DRM}, U_{RRM}, В$	3800	4000
Класс по напряжению	38	40
$T_j, °C$	- 60 ÷ 125	

### ПРЕДЕЛЬНО ДОПУСТИМЫЕ ЗНАЧЕНИЯ ПАРАМЕТРОВ

Обозначение и наименование параметра		Ед. изм.	Значение	Условия измерения
<b>Параметры в проводящем состоянии</b>				
$I_{TAV}$	Средний ток в открытом состоянии	А	1600 2340	$T_c=85 °C$ ; двухстороннее охлаждение; $T_c=55 °C$ ; двухстороннее охлаждение; 180 эл. град. синус; 50 Гц
$I_{TRMS}$	Действующий ток в открытом состоянии	А	2512	$T_c=85 °C$ ; двухстороннее охлаждение; 180 эл. град. синус; 50 Гц
$I_{TSM}$	Ударный ток в открытом состоянии	кА	30.0 35.0	180 эл. град. синус; 50 Гц ( $t_p=10$ мс); единичный импульс; $U_D=U_R=0$ В; Импульс управления: $I_G=I_{FGM}$ ; $U_G=20$ В; $t_{GP}=50$ мкс; $di_G/dt=1$ А/мкс
			32.0 37.0	180 эл. град. синус; 60 Гц ( $t_p=8.3$ мс); единичный импульс; $U_D=U_R=0$ В; Импульс управления: $I_G=I_{FGM}$ ; $U_G=20$ В; $t_{GP}=50$ мкс; $di_G/dt=1$ А/мкс
$I^2t$	Защитный фактор	$A^2c \cdot 10^3$	4500 6125	180 эл. град. синус; 50 Гц ( $t_p=10$ мс); единичный импульс; $U_D=U_R=0$ В; Импульс управления: $I_G=I_{FGM}$ ; $U_G=20$ В; $t_{GP}=50$ мкс; $di_G/dt=1$ А/мкс
			4245 5680	180 эл. град. синус; 60 Гц ( $t_p=8.3$ мс); единичный импульс; $U_D=U_R=0$ В; Импульс управления: $I_G=I_{FGM}$ ; $U_G=20$ В; $t_{GP}=50$ мкс; $di_G/dt=1$ А/мкс

<b>Блокирующие параметры</b>				
$U_{DRM}, U_{RRM}$	Повторяющееся импульсное обратное напряжение и повторяющееся импульсное напряжение в закрытом состоянии	В	3800÷4000	$T_{j\min} < T_j < T_{j\max}$ ; 180 эл. град. синус; 50 Гц; управление разомкнуто
$U_{DSM}, U_{RSM}$	Неповторяющееся импульсное обратное напряжение и неповторяющееся импульсное напряжение в закрытом состоянии	В	3900÷4100	$T_{j\min} < T_j < T_{j\max}$ ; 180 эл. град. синус; 50 Гц; единичный импульс; управление разомкнуто
$U_D, U_R$	Постоянное обратное и постоянное прямое напряжение	В	$0.75 \cdot U_{DRM}$ $0.75 \cdot U_{RRM}$	$T_j = T_{j\max}$ ; управление разомкнуто
<b>Параметры управления</b>				
$I_{FGM}$	Максимальный прямой ток управления	А	10	$T_j = T_{j\max}$
$U_{RGM}$	Максимальное обратное напряжение управления	В	5	
$P_G$	Максимальная рассеиваемая мощность по управлению	Вт	8	$T_j = T_{j\max}$ для постоянного тока управления
<b>Параметры переключения</b>				
$(di_T/dt)_{crit}$	Критическая скорость нарастания тока в открытом состоянии ( $f=1$ Hz)	А/мкс	2500	$T_j = T_{j\max}$ ; $U_D = 0.67 \cdot U_{DRM}$ ; $I_{TM} = 2 I_{TAV}$ ; Импульс управления: $I_G = I_{FGM}$ ; $U_G = 20$ В; $t_{GP} = 50$ мкс; $di_G/dt = 1$ А/мкс
<b>Тепловые параметры</b>				
$T_{stg}$	Температура хранения	°С	- 60 ÷ 125	
$T_j$	Температура р-п перехода	°С	- 60 ÷ 125	
<b>Механические параметры</b>				
F	Монтажное усилие	кН	40.0÷50.0	
a	Ускорение	м/с <sup>2</sup>	50 100	В не зажатом состоянии В зажатом состоянии

## ХАРАКТЕРИСТИКИ

Обозначение и наименование характеристики	Ед. изм.	Значение	Условия измерения	
<b>Характеристики в проводящем состоянии</b>				
$U_{TM}$	Импульсное напряжение в открытом состоянии, макс	В	2.40 2.70	$T_j = T_{j\max}$ ; $I_{TM} = 4000$ А $T_j = 25$ °С; $I_{TM} = 5024$ А
$U_{T(TO)}$	Пороговое напряжение, макс	В	1.44	$T_j = T_{j\max}$ ; $0.5 \pi I_{TAV} < I_T < 1.5 \pi I_{TAV}$
$r_T$	Динамическое сопротивление в открытом состоянии, макс	МОм	0.270	
$I_H$	Ток удержания, макс	мА	1000	$T_j = 25$ °С; $U_D = 12$ В; управление разомкнуто
<b>Блокирующие характеристики</b>				
$I_{DRM}, I_{RRM}$	Повторяющийся импульсный обратный ток и повторяющийся импульсный ток в закрытом состоянии, макс	мА	300	$T_j = T_{j\max}$ ; $U_D = U_{DRM}$ ; $U_R = U_{RRM}$
$(dv_D/dt)_{crit}$	Критическая скорость нарастания напряжения в закрытом состоянии <sup>1)</sup> , мин	В/мкс	1000	$T_j = T_{j\max}$ ; $U_D = 0.67 \cdot U_{DRM}$ ; управление разомкнуто

Характеристики управления					
$U_{GT}$	Отпирающее постоянное напряжение управления, макс	В	5.00 3.00 2.00	$T_j = T_{j \min}$ $T_j = 25 \text{ }^\circ\text{C}$ $T_j = T_{j \max}$	$U_D = 12 \text{ В}; I_D = 3 \text{ А};$ Постоянный ток управления
$I_{GT}$	Отпирающий постоянный ток управления, макс	мА	500 300 200	$T_j = T_{j \min}$ $T_j = 25 \text{ }^\circ\text{C}$ $T_j = T_{j \max}$	
$U_{GD}$	Неотпирающее постоянное напряжение управления, мин	В	0.35	$T_j = T_{j \max};$ $U_D = 0.67 \cdot U_{DRM};$	Постоянный ток управления
$I_{GD}$	Неотпирающий постоянный ток управления, мин	мА	15.00		

### Динамические характеристики

$t_{gd}$	Время задержки включения	мкс	3.5	$T_j = 25 \text{ }^\circ\text{C}; V_D = 0.4 \cdot V_{DRM}; I_{TM} = I_{TAV};$ Gate pulse: $I_G = I_{FGM}; V_G = 20 \text{ В};$ $t_{GP} = 50 \text{ } \mu\text{s}; di_G/dt = 1 \text{ А}/\mu\text{s}$	
$t_q$	Время выключения <sup>2)</sup> , макс	мкс	125; 160	$dv_D/dt = 50 \text{ В}/\text{мкс};$	$T_j = T_{j \max}; I_{TM} = I_{TAV};$ $di_R/dt = -10 \text{ А}/\text{мкс};$ $U_R = 100 \text{ В};$ $U_D = 0.67 U_{DRM}$
			160; 200	$dv_D/dt = 200 \text{ В}/\text{мкс};$	
$Q_{rr}$	Заряд обратного восстановления, макс	мкКл	3000	$T_j = T_{j \max}; I_{TM} = I_{TAV};$ $di_R/dt = -50 \text{ А}/\text{мкс};$ $U_R = 100 \text{ В}$	
$t_{rr}$	Время обратного восстановления, макс	мкс	14		
$I_{rrM}$	Ток обратного восстановления, макс	А	430		

### Тепловые характеристики

$R_{thjc}$	Тепловое сопротивление р-п переход-корпус, макс	$^\circ\text{C}/\text{Вт}$	0.0100	Постоянный ток	Двухстороннее охлаждение
$R_{thjc-A}$			0.0220		Охлаждение со стороны анода
$R_{thjc-K}$			0.0180		Охлаждение со стороны катода
$R_{thck}$	Тепловое сопротивление корпус-охладитель, макс	$^\circ\text{C}/\text{Вт}$	0.0020	Постоянный ток	

### Механические характеристики

w	Масса, тип	г	1600	
$D_s$	Длина пути тока утечки по поверхности	мм (дюйм)	55.13 (2.170)	
$D_a$	Длина пути тока утечки по воздуху	мм (дюйм)	25.10 (0.988)	

### ПРИМЕЧАНИЕ

<sup>1)</sup> Критическая скорость нарастания напряжения в закрытом состоянии

Обозначение группы	A2
$(dv_D/dt)_{crit}$ , В/мкс	1000

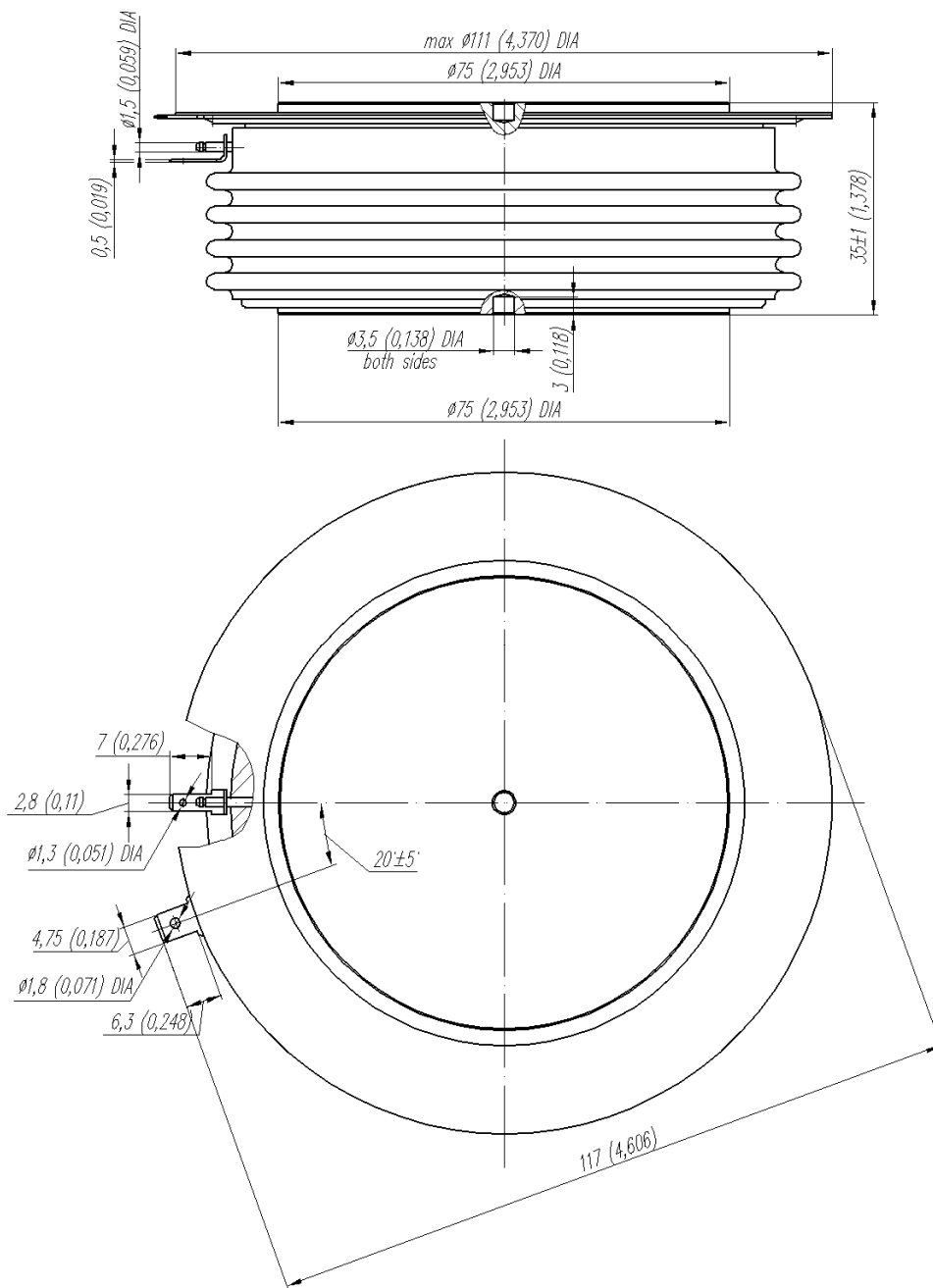
<sup>2)</sup> Время выключения ( $dv_D/dt = 50 \text{ В}/\text{мкс}$ )

Обозначение группы	X2	T2
$t_q$ , мкс	125	160

### МАРКИРОВКА

ТБИ	473	1600	40	A2	X2	УХЛ2
1	2	3	4	5	6	7

1. Быстродействующий импульсный тиристор
2. Конструктивное исполнение
3. Средний ток в открытом состоянии, А
4. Класс по напряжению
5. Критическая скорость нарастания напряжения в закрытом состоянии
6. Группа по времени выключения ( $dv_D/dt = 50 \text{ В}/\text{мкс}$ )
7. Климатическое исполнение по ГОСТ 15150: УХЛ2, Т



Все размеры в миллиметрах (дюймах)

### On-state characteristic model (see Fig. 1).

Analytical function for On-state characteristic:

$$V_T = A + B \cdot i_T + C \cdot \ln(i_T + 1) + D \cdot \sqrt{i_T}$$

	Coefficients	
	$T_j = 25^\circ\text{C}$	$T_j = T_{j\text{max}}$
<b>A</b>	1.799223	1.165741
<b>B</b>	0.106392	0.195115
<b>C</b>	-0.227901	-0.304378
<b>D</b>	0.350140	0.467637

### Transient thermal impedance junction to case $Z_{thjc}$ model (see Fig. 2).

Analytical function for Transient thermal impedance junction to case  $Z_{thjc}$  for DC:

$$Z_{thjc} = \sum_{i=1}^n R_i \left( 1 - e^{-\frac{t}{\tau_i}} \right)$$

Where  $i = 1$  to  $n$ ,  $n$  is the number of terms in the series.

$t$  = Duration of heating pulse in seconds.

$Z_{thjc}$  = Thermal resistance at time  $t$ .

$R_i$  = Amplitude of  $p_{th}$  term.

$\tau_i$  = Time constant of  $r_{th}$  term.

DC Double side cooled

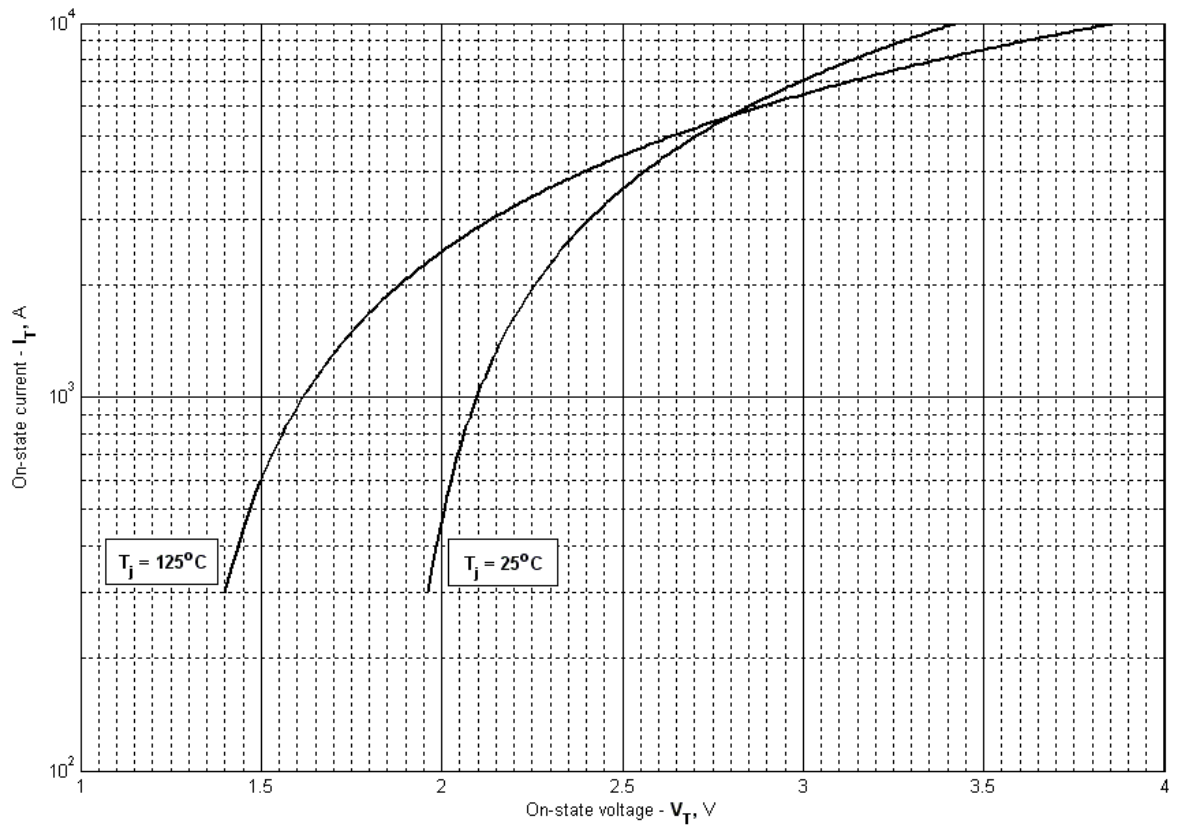
<b>i</b>	<b>1</b>	<b>2</b>	<b>3</b>	<b>4</b>	<b>5</b>	<b>6</b>
<b><math>R_{ij}</math> K/W</b>	0.002785	0.003537	0.0005787	0.0006418	0.00009446	0.002362
<b><math>\tau_{ij}</math> s</b>	2.061	0.07354	0.002615	0.1375	0.0004601	1.210

DC Anode side cooled

<b>i</b>	<b>1</b>	<b>2</b>	<b>3</b>	<b>4</b>	<b>5</b>	<b>6</b>
<b><math>R_{ij}</math> K/W</b>	0.01246	0.00478	0.0006333	0.003716	0.0005969	0.00006119
<b><math>\tau_{ij}</math> s</b>	13.310	1.871	0.2261	0.07337	0.002363	0.0003248

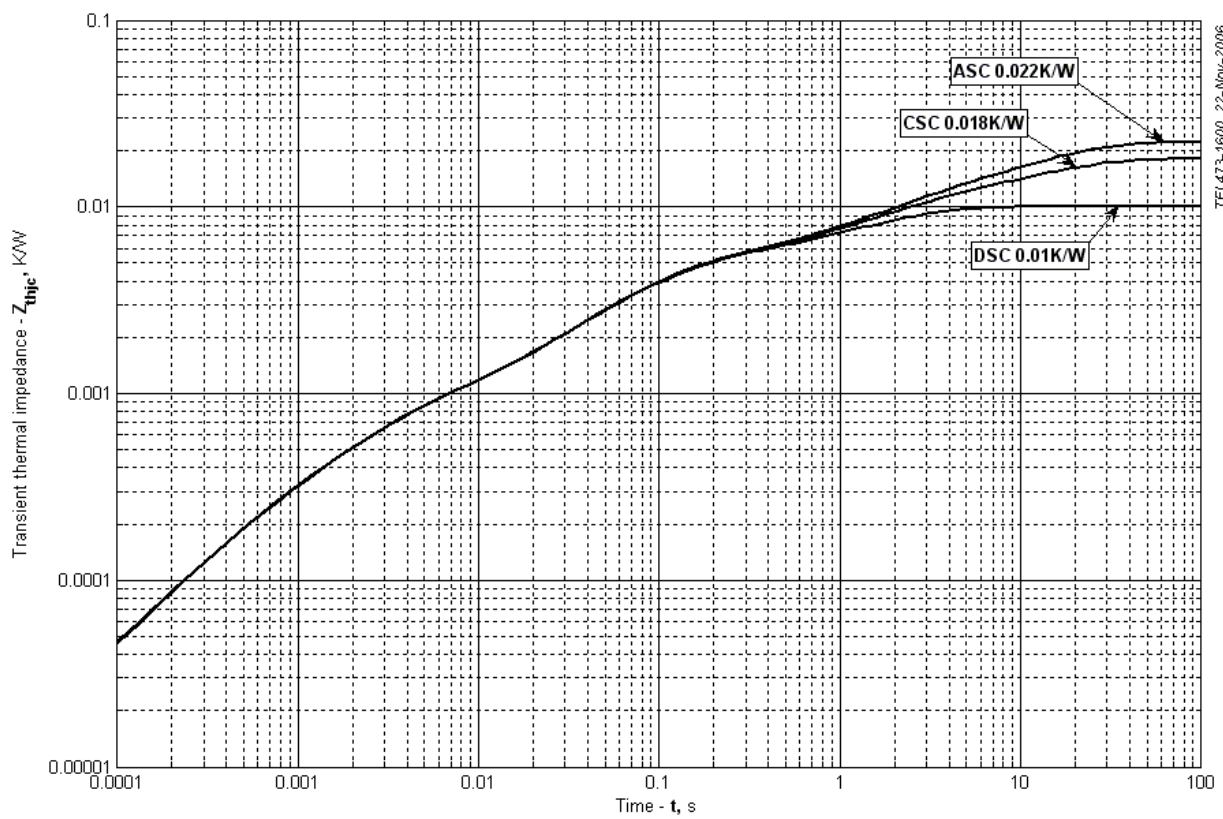
DC Cathode side cooled

<b>i</b>	<b>1</b>	<b>2</b>	<b>3</b>	<b>4</b>	<b>5</b>	<b>6</b>
<b><math>R_{ij}</math> K/W</b>	0.008256	0.004771	0.0006239	0.003744	0.0005969	0.00006164
<b><math>\tau_{ij}</math> s</b>	13.250	1.783	0.2371	0.07347	0.002367	0.000327



TFI 473-1600, 22-Nov-2006

Fig 1 – On-state characteristics of Limit device



TFI 473-1600, 22-Nov-2006

Fig 2 – Transient thermal impedance

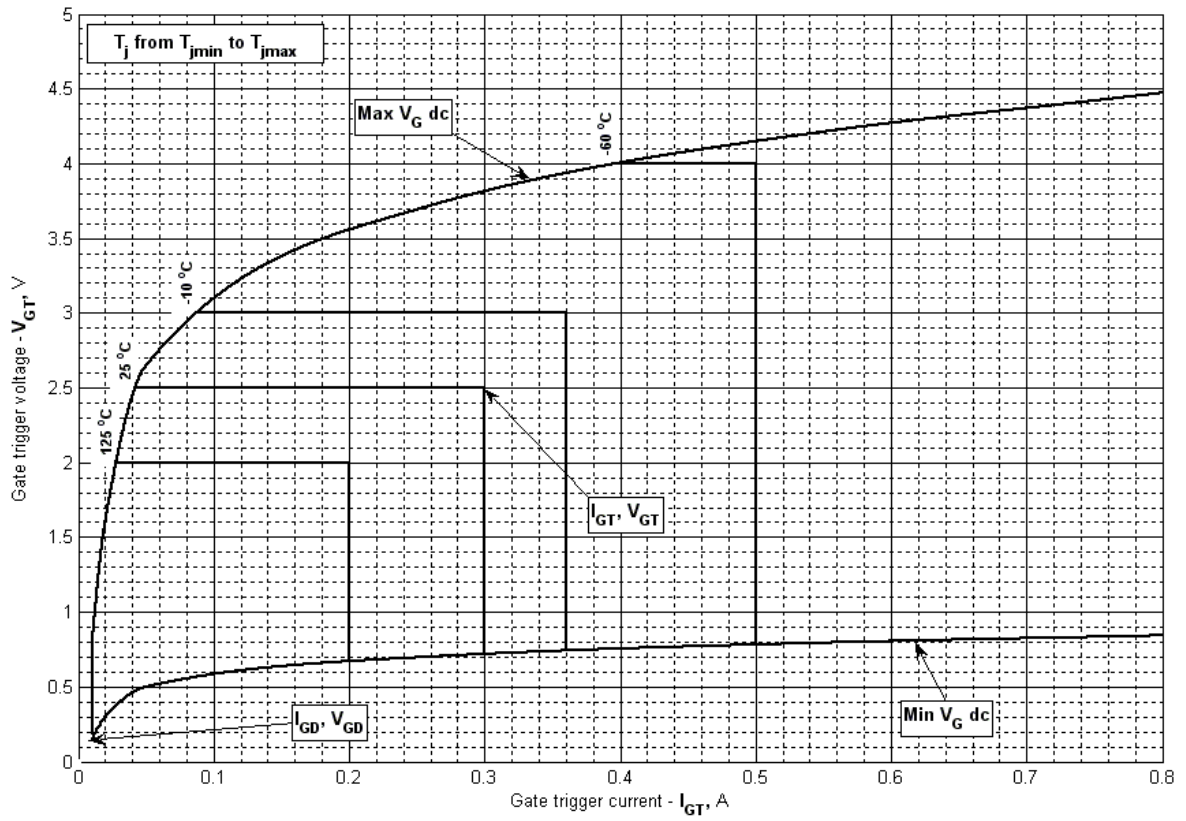


Fig 3 – Gate characteristics – Trigger limits

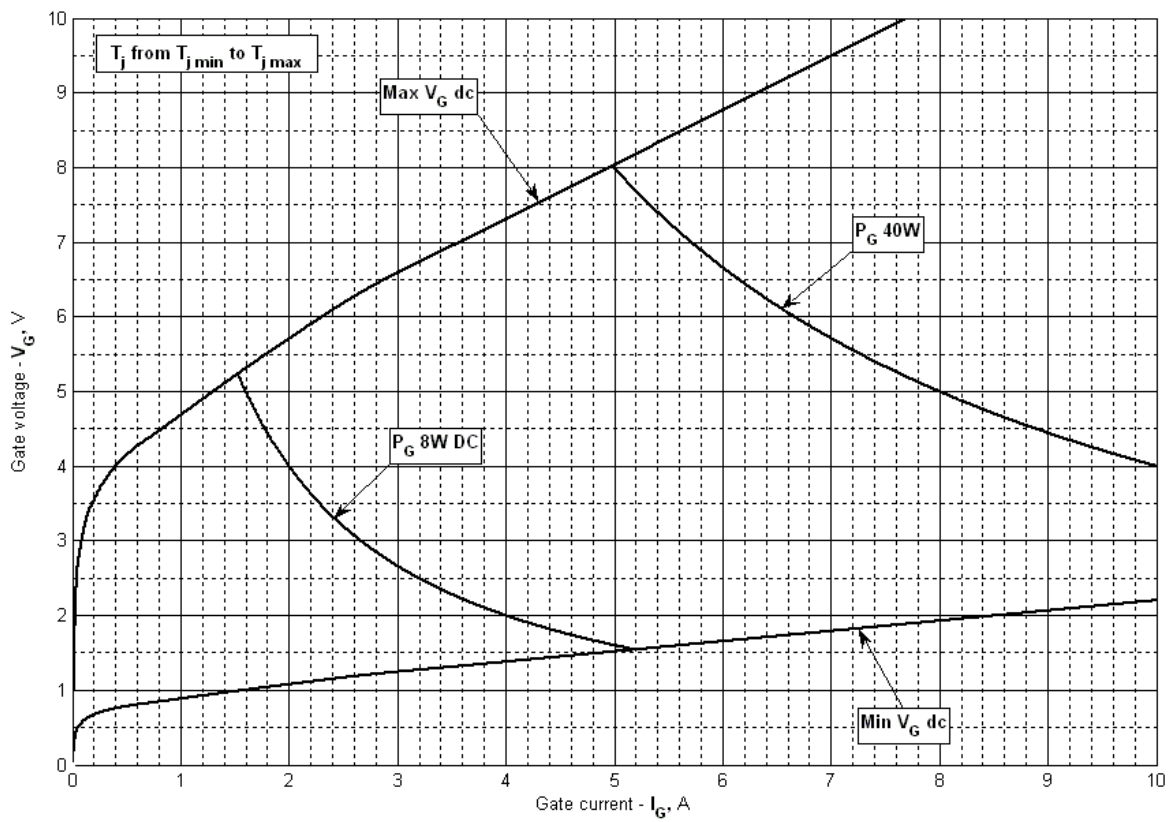


Fig 4 – Gate characteristics –Power curves

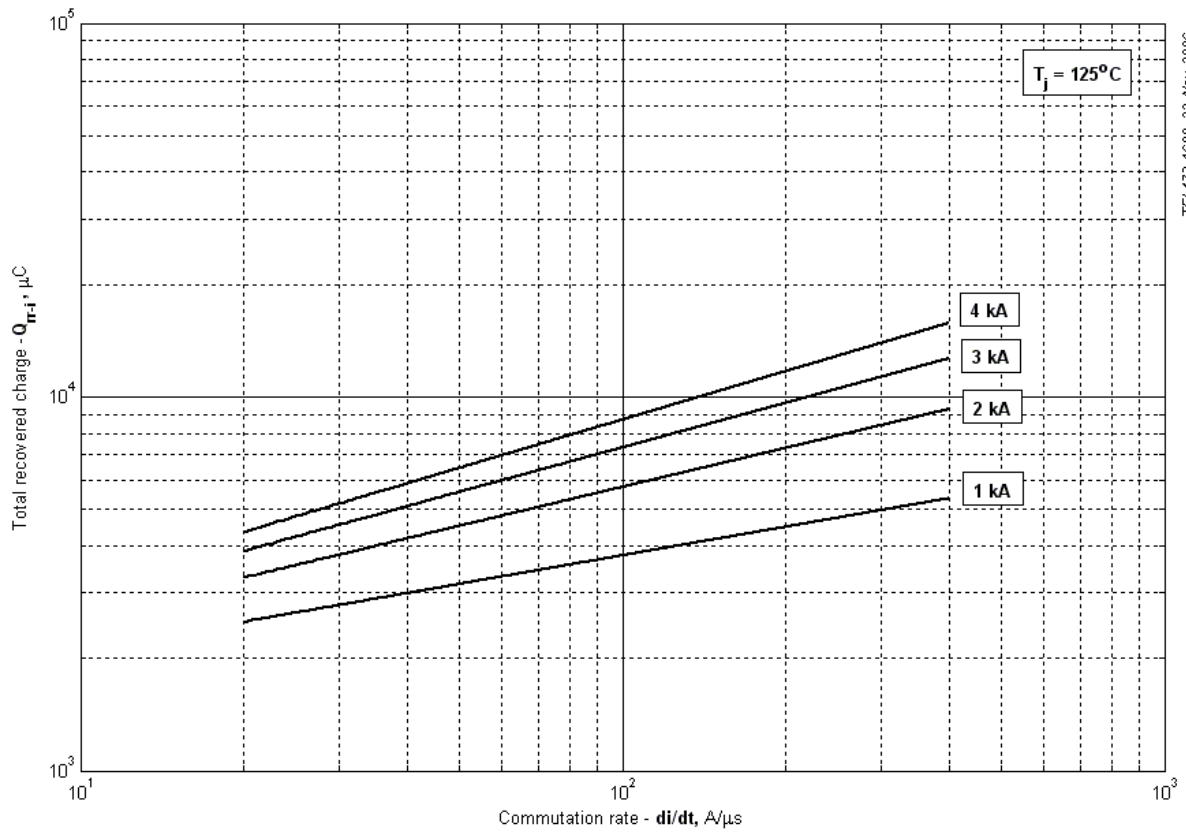


Fig 5 – Total recovered charge,  $Q_{tr-i}$  (integral)

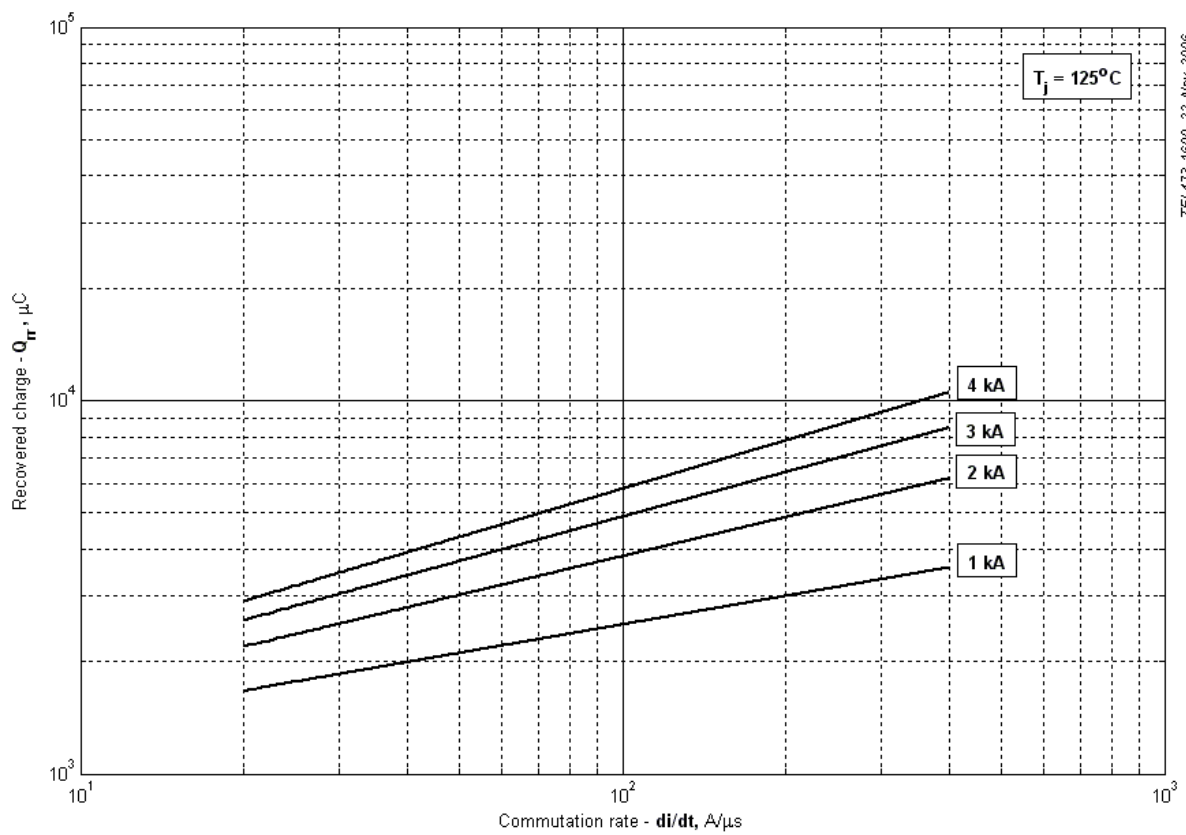


Fig 6 - Recovered charge,  $Q_{tr}$  (linear)

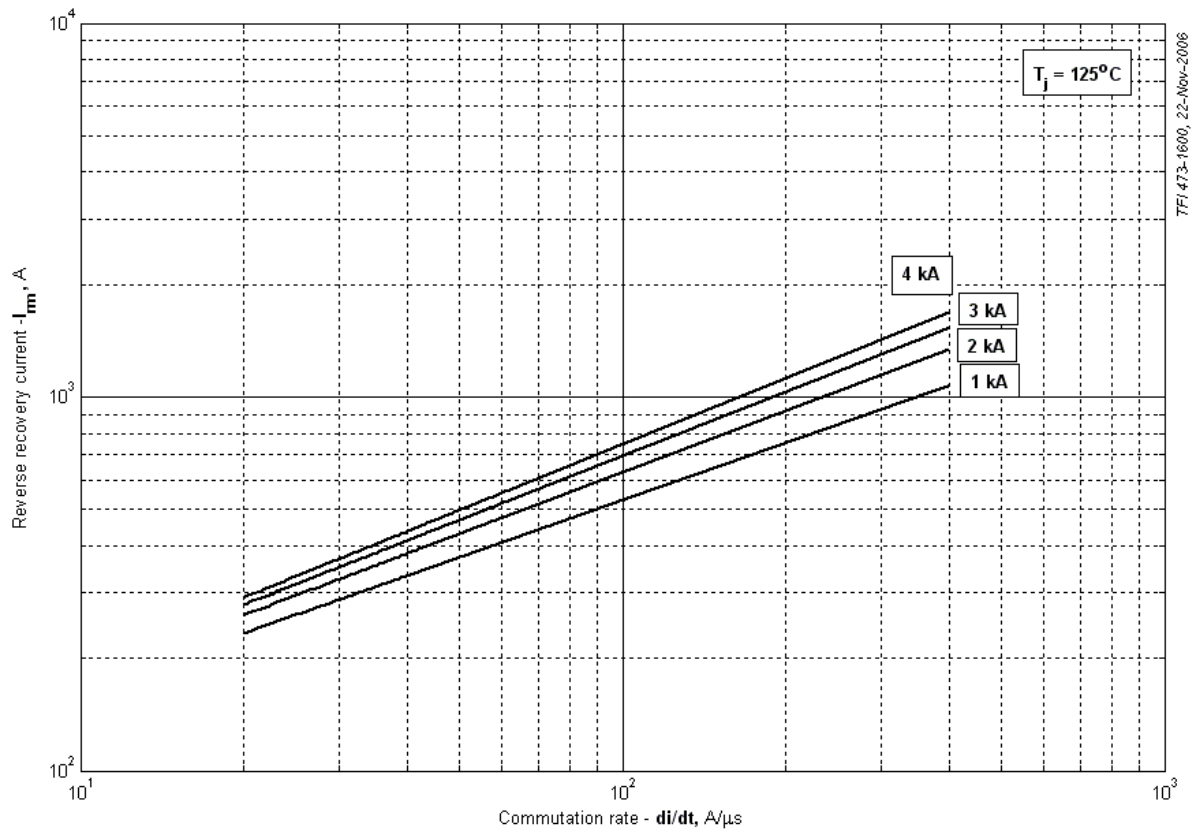


Fig 7 – Peak reverse recovery current,  $I_{rm}$

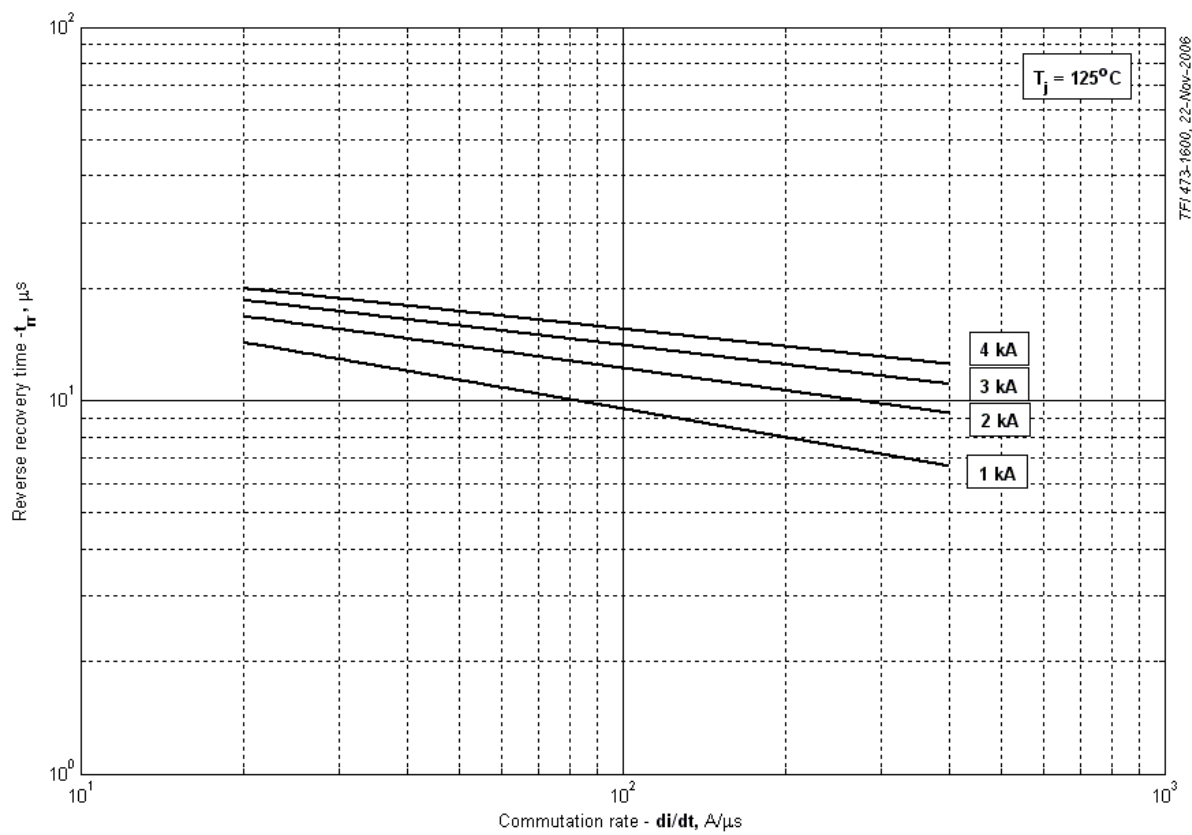


Fig 8 – Maximum recovery time,  $t_{rr}$  (linear)

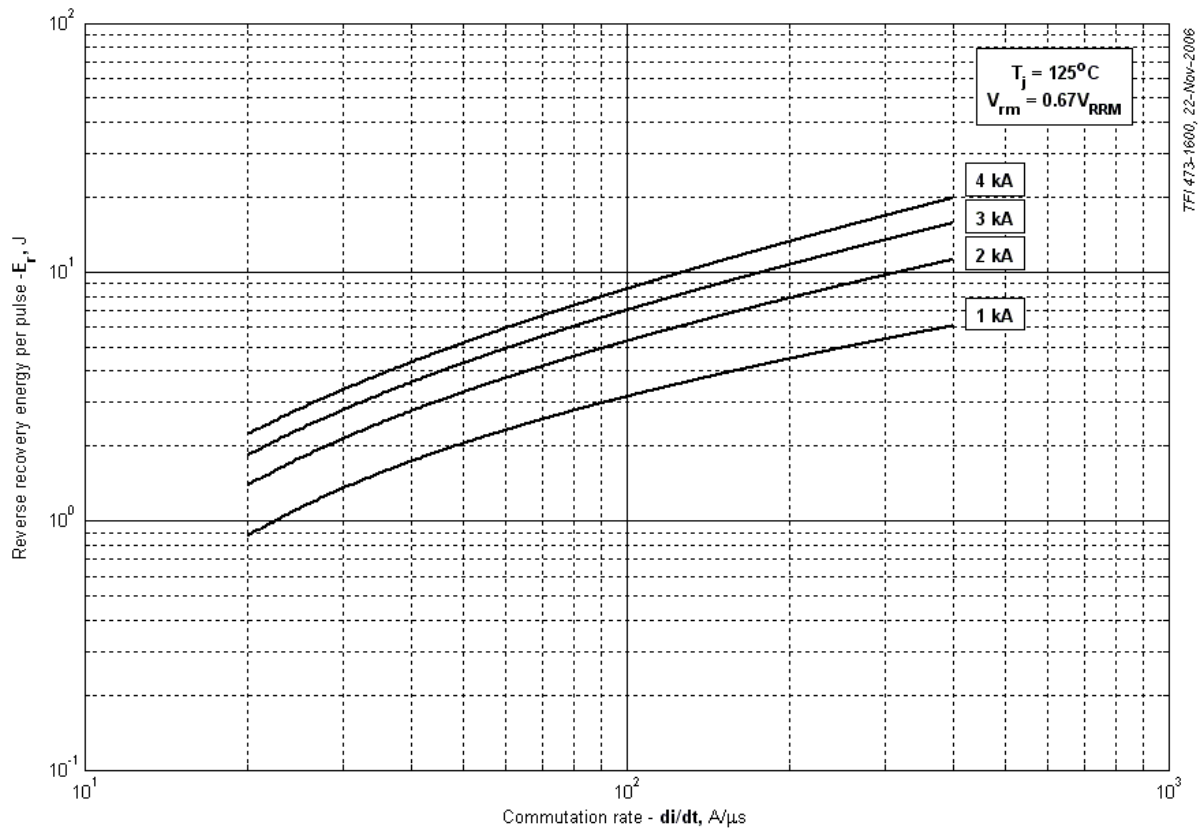


Fig 9 – Reverse recovery energy per pulse

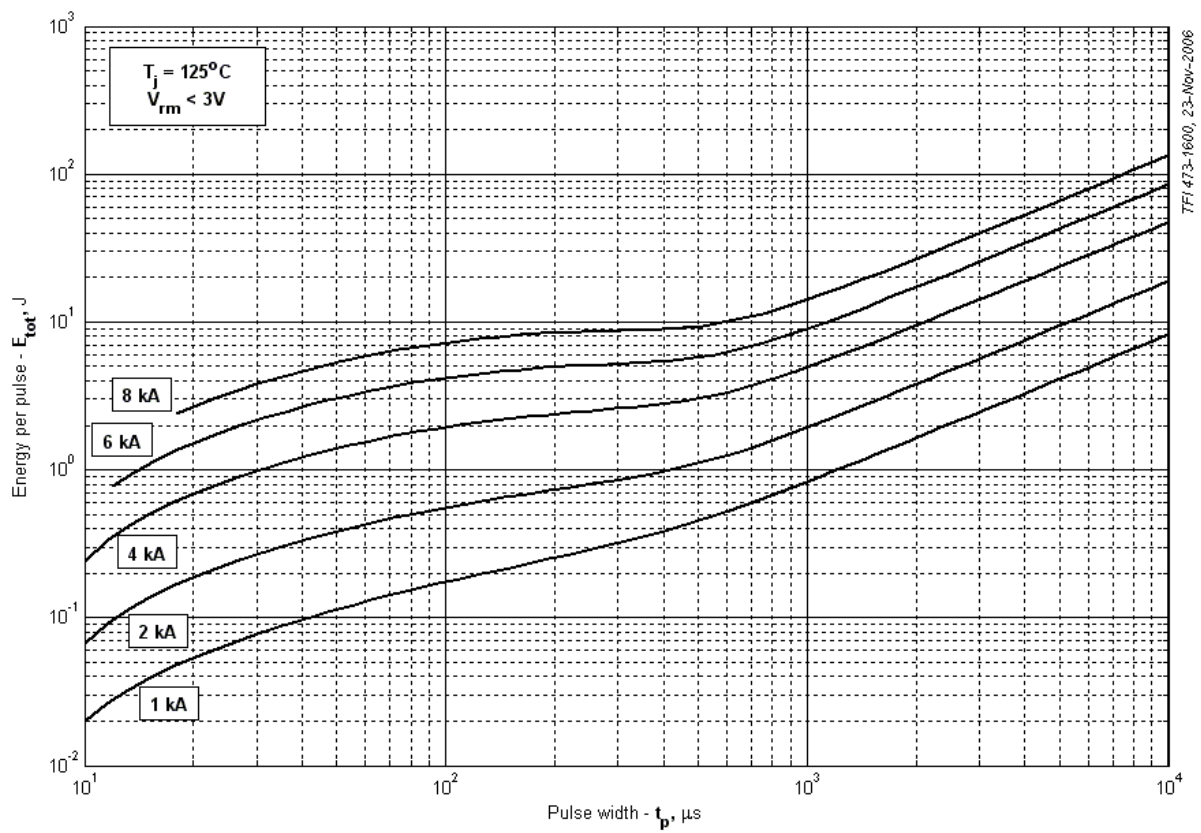


Fig 10 – Sine wave energy per pulse

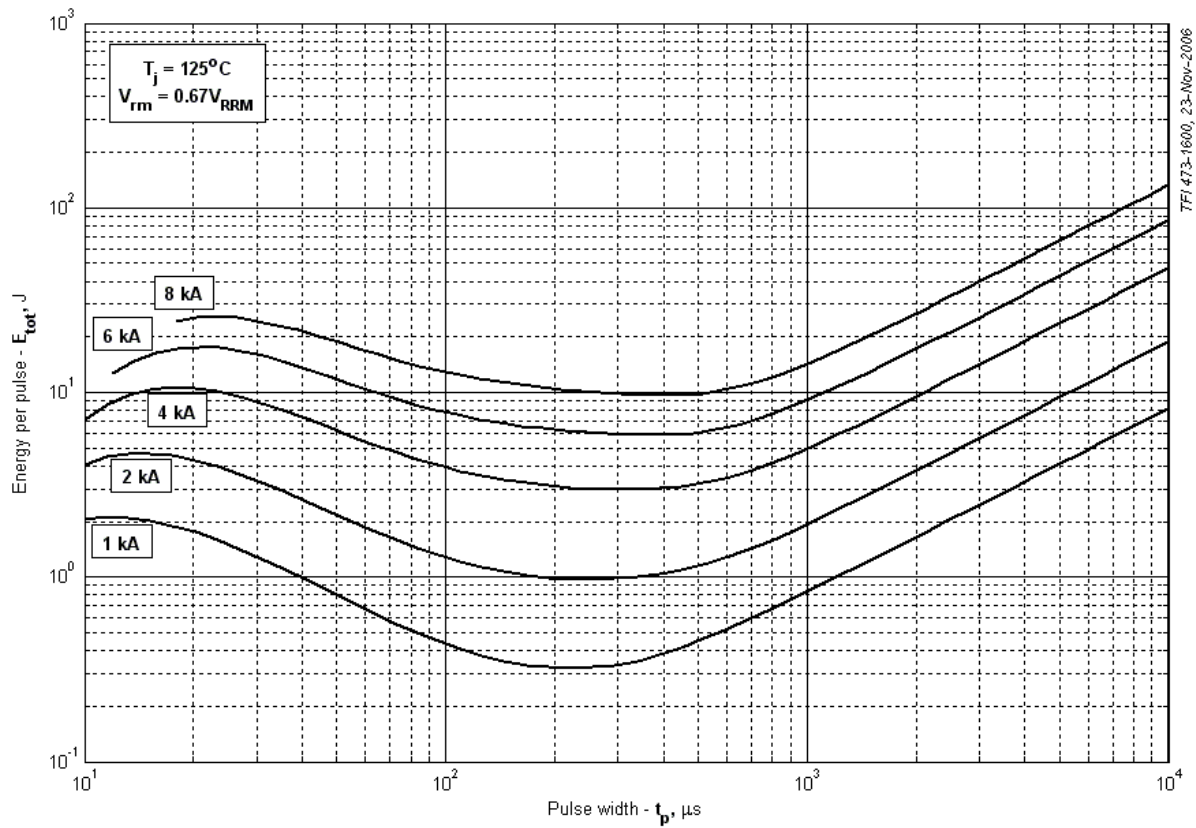


Fig 11 – Sine wave energy per pulse

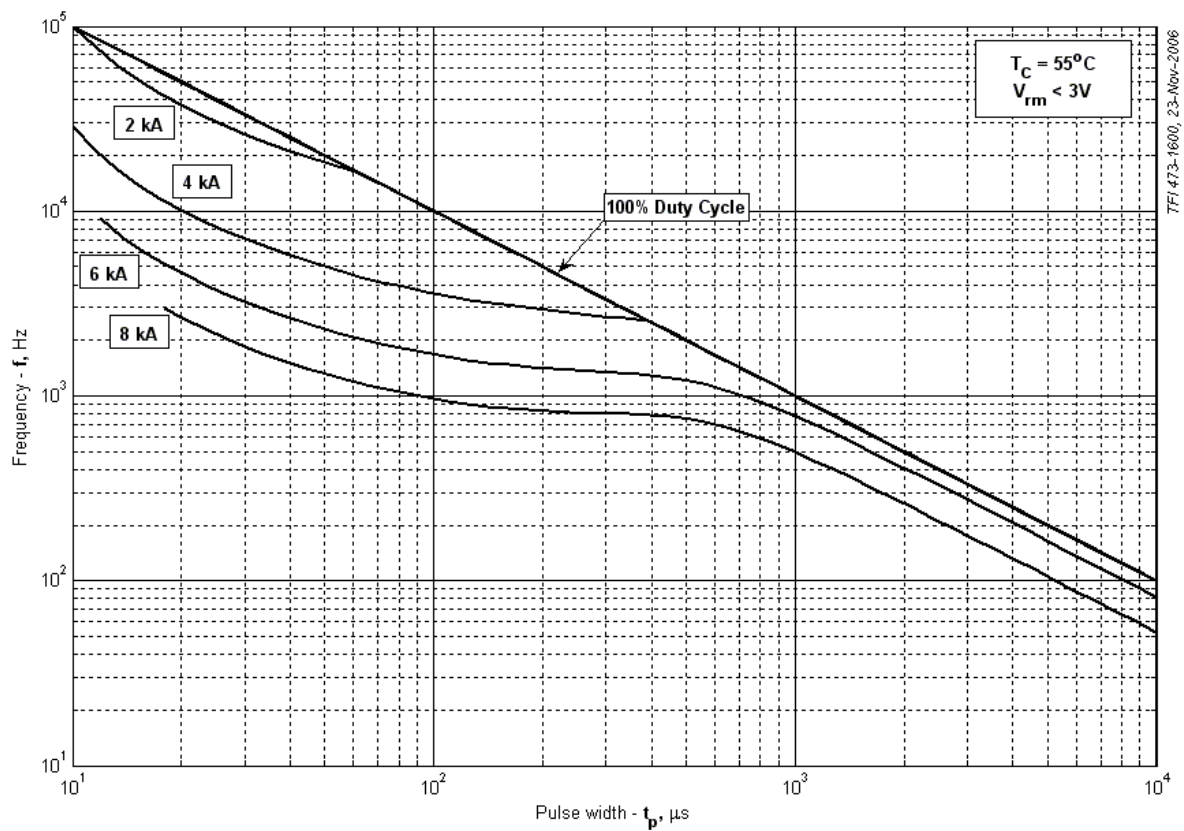


Fig 12 – Sine wave frequency ratings

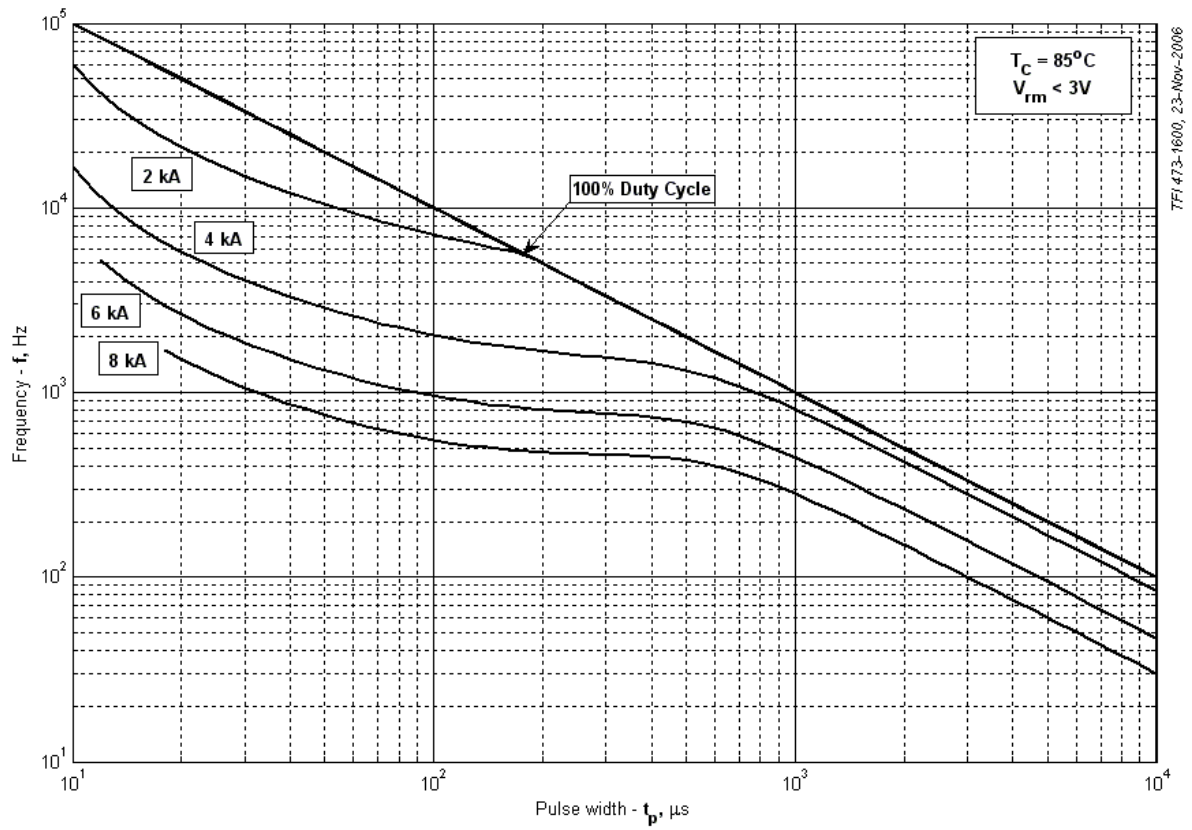


Fig 13 – Sine wave frequency ratings

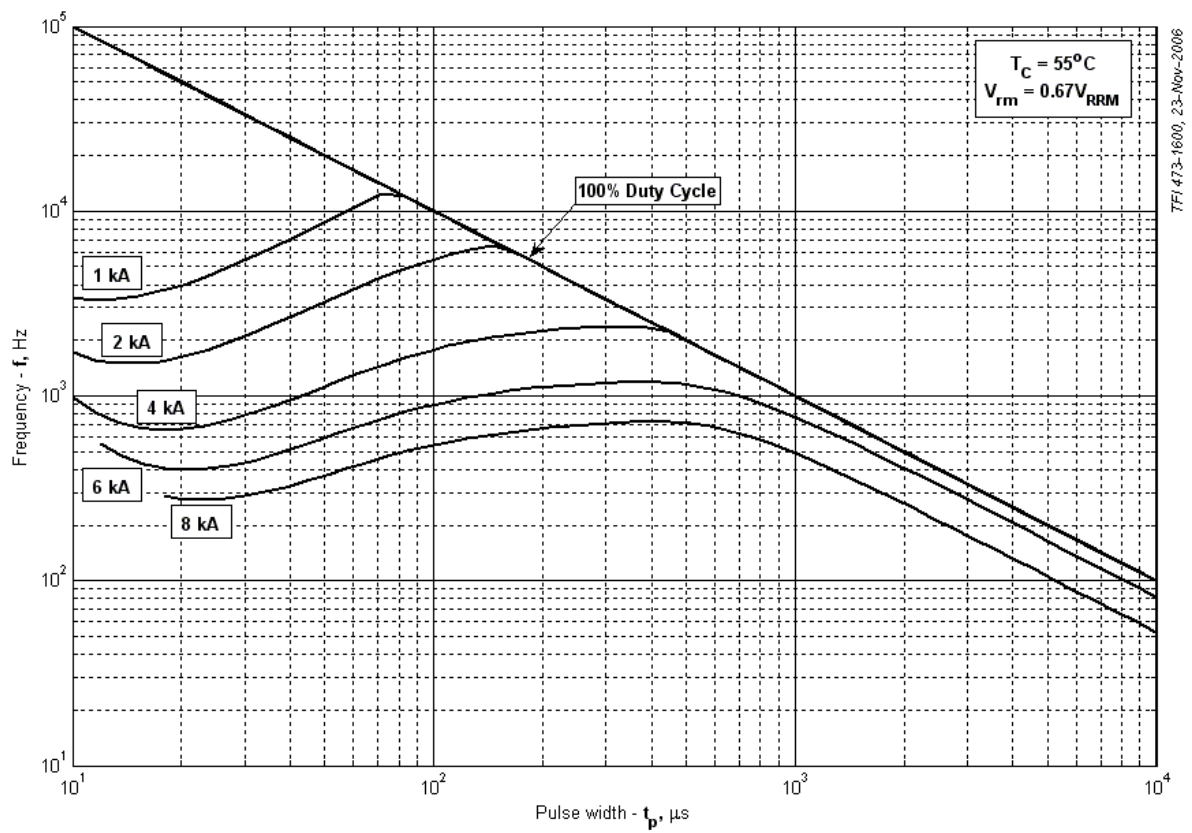
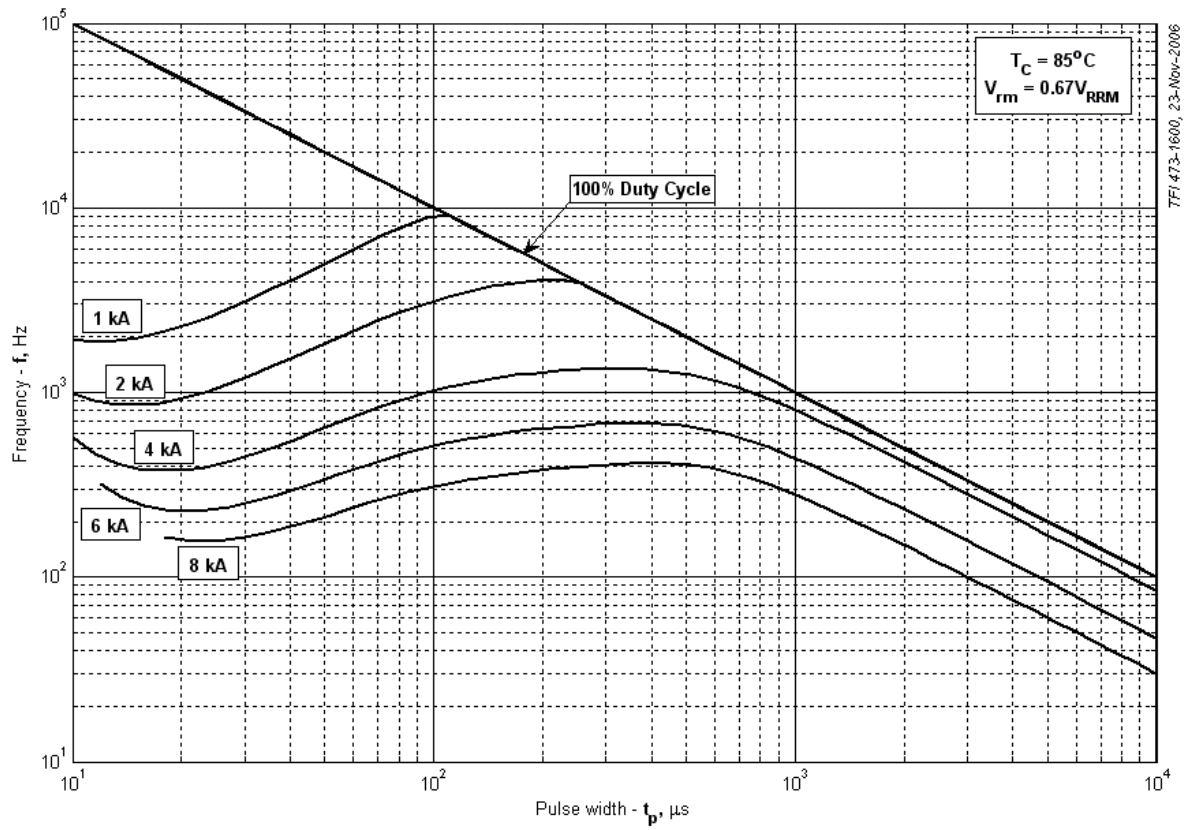
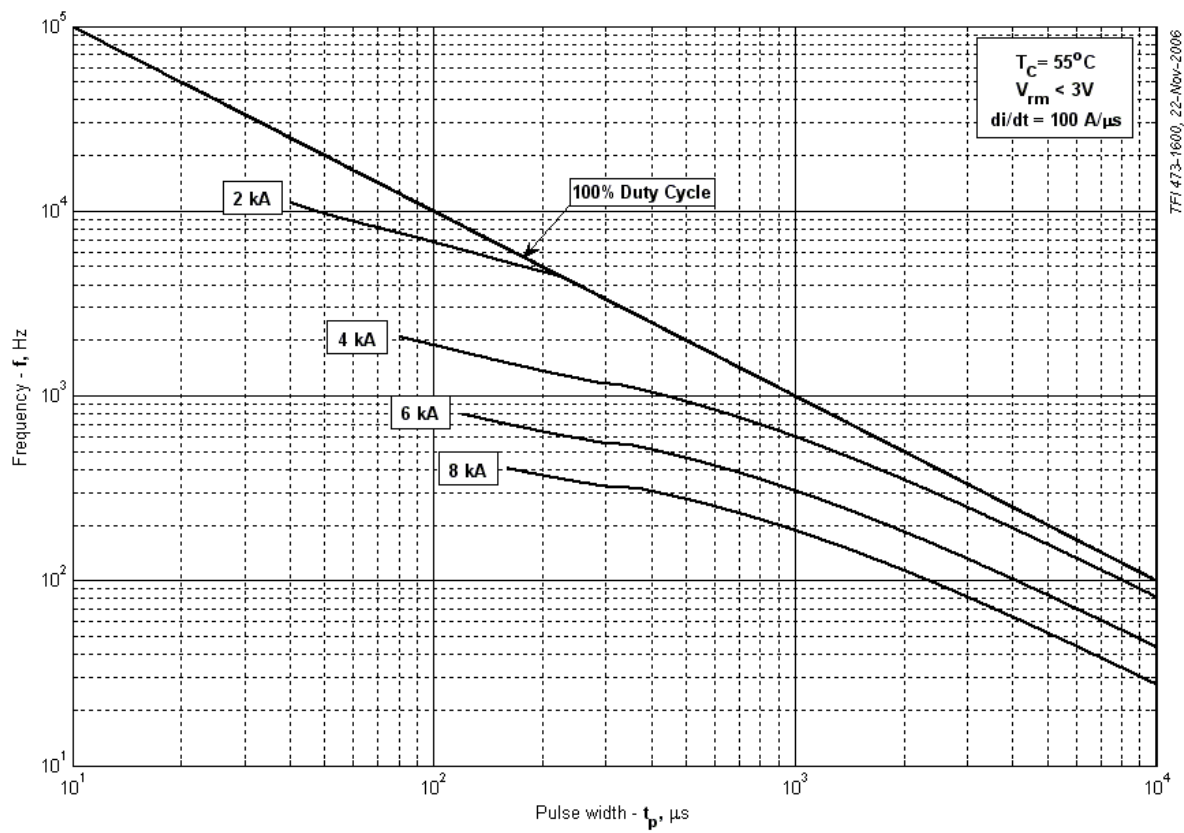


Fig 14 – Sine wave frequency ratings



TFI 473-1600, 23-Nov-2006

Fig 15 – Sine wave frequency ratings



TFI 473-1600, 22-Nov-2006

Fig 16 – Square wave frequency ratings

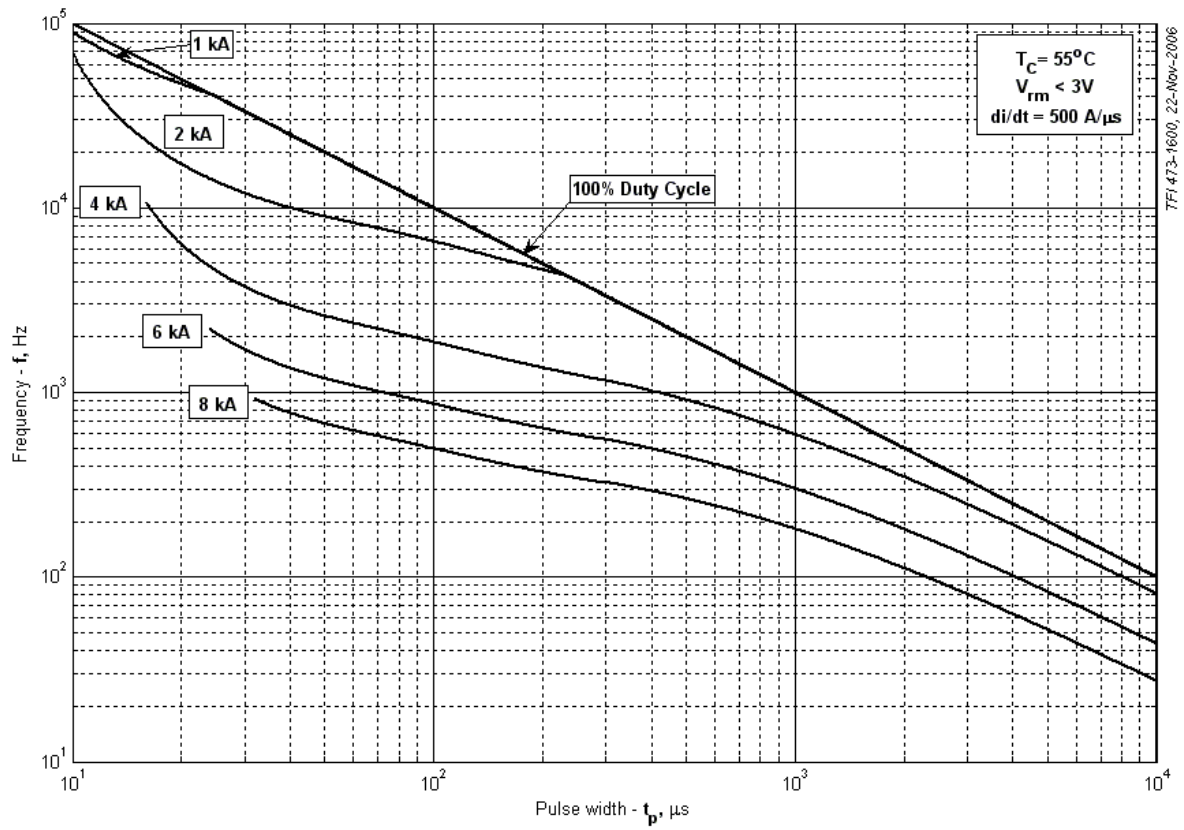


Fig 17 – Square wave frequency ratings

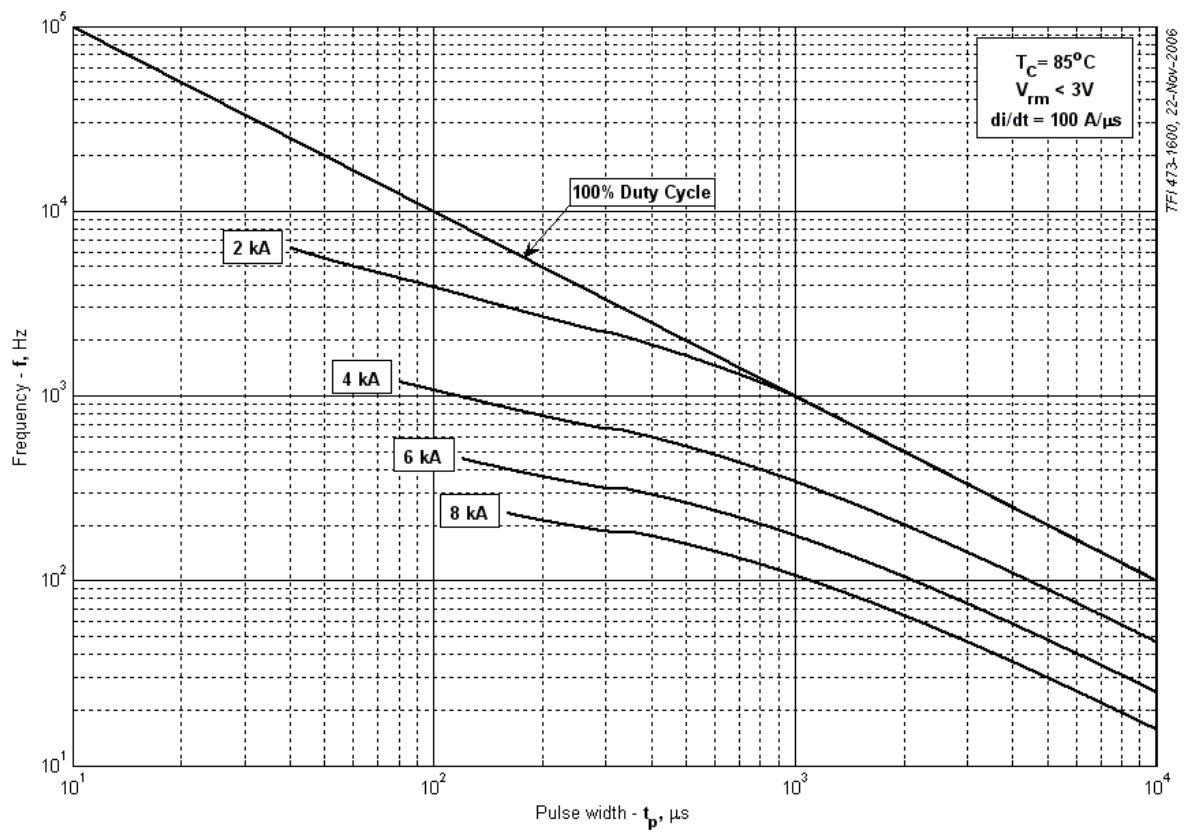


Fig 18 – Square wave frequency ratings

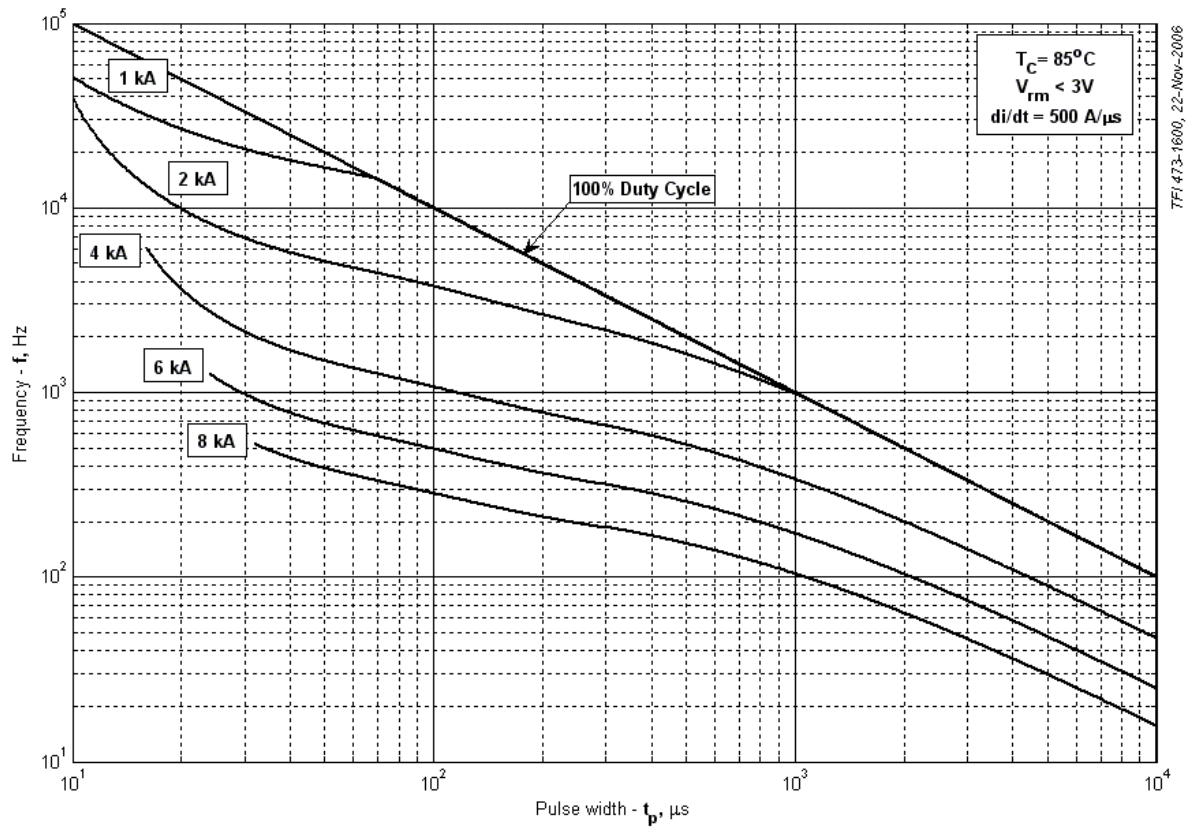


Fig 19 – Square wave frequency ratings

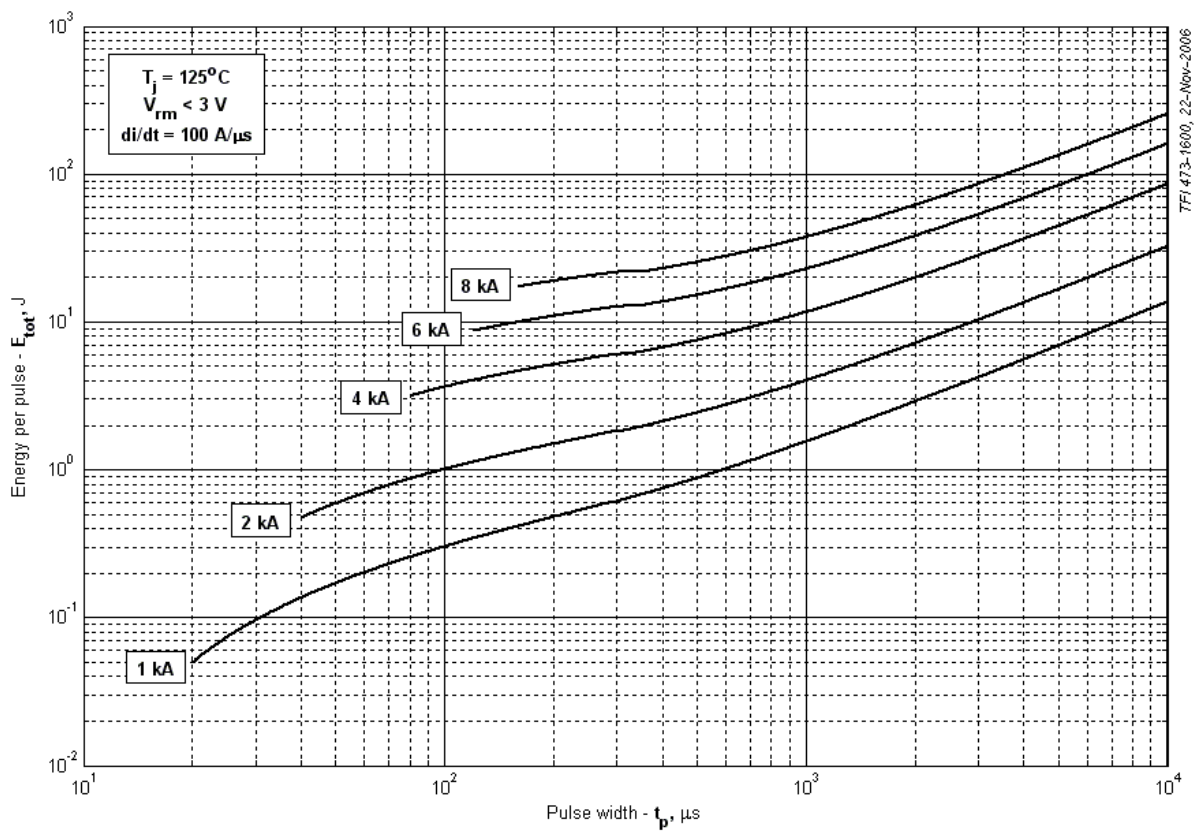


Fig 20 – Square wave energy per pulse

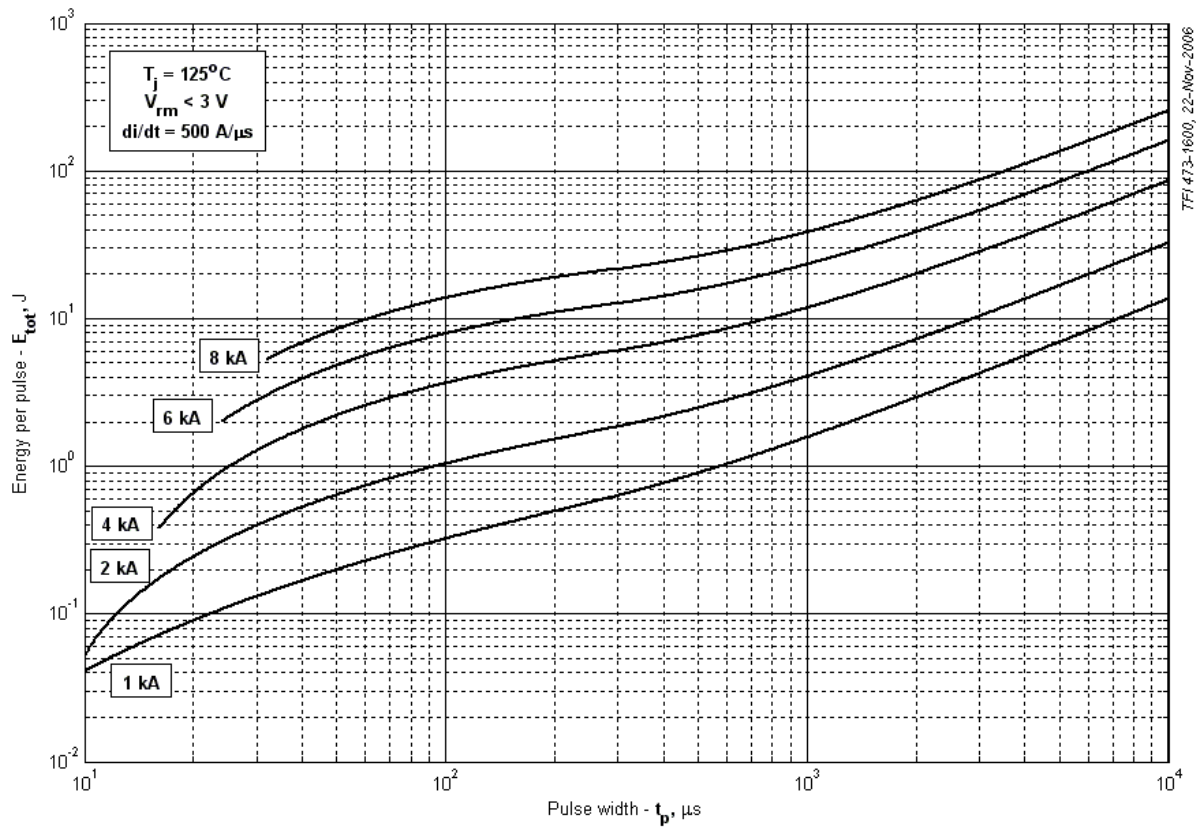


Fig 21 – Square wave energy per pulse

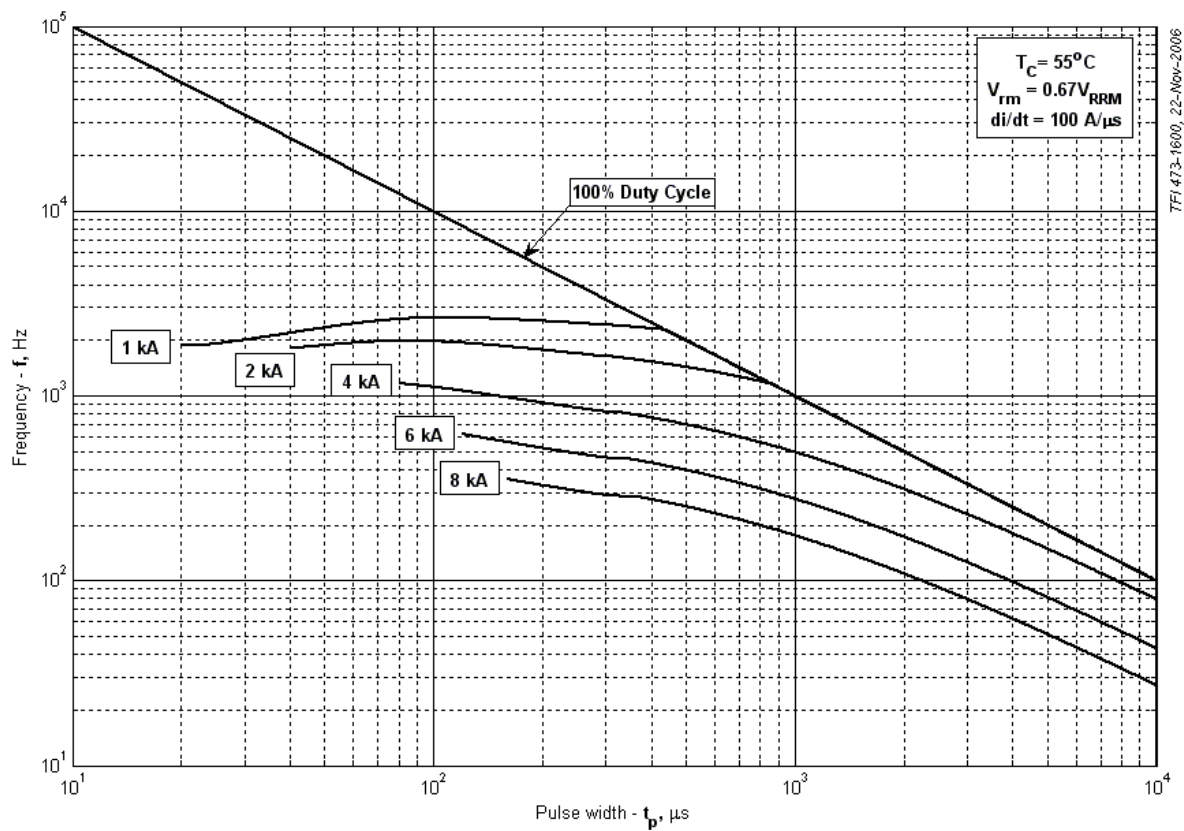


Fig 22 – Square wave frequency ratings

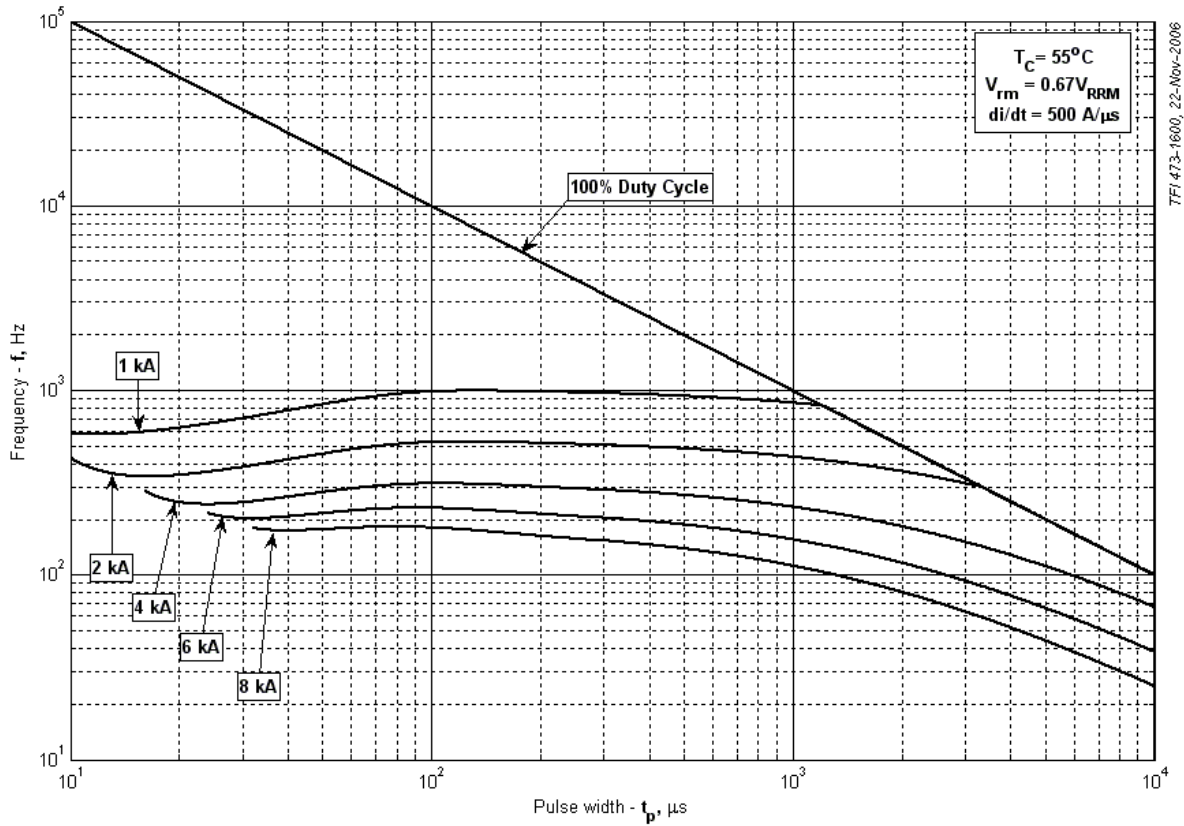


Fig 23 – Square wave frequency ratings

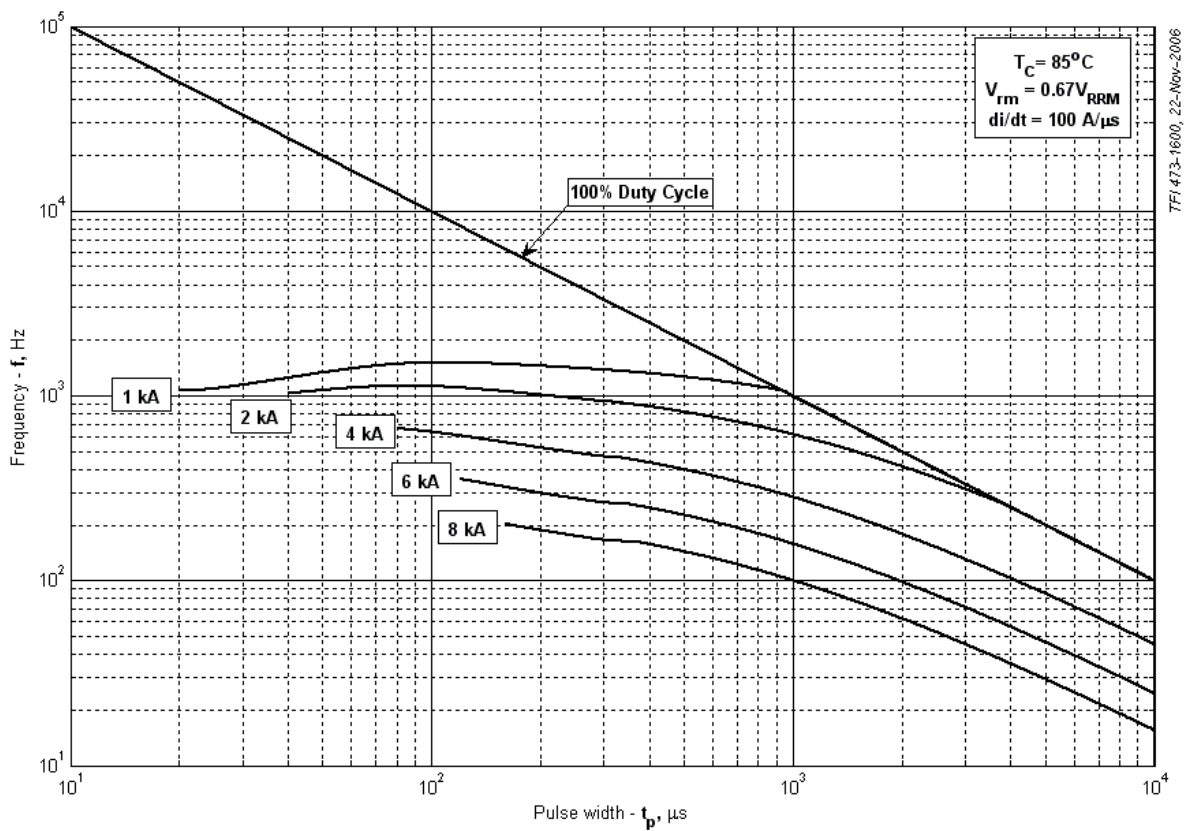


Fig 24 – Square wave frequency ratings

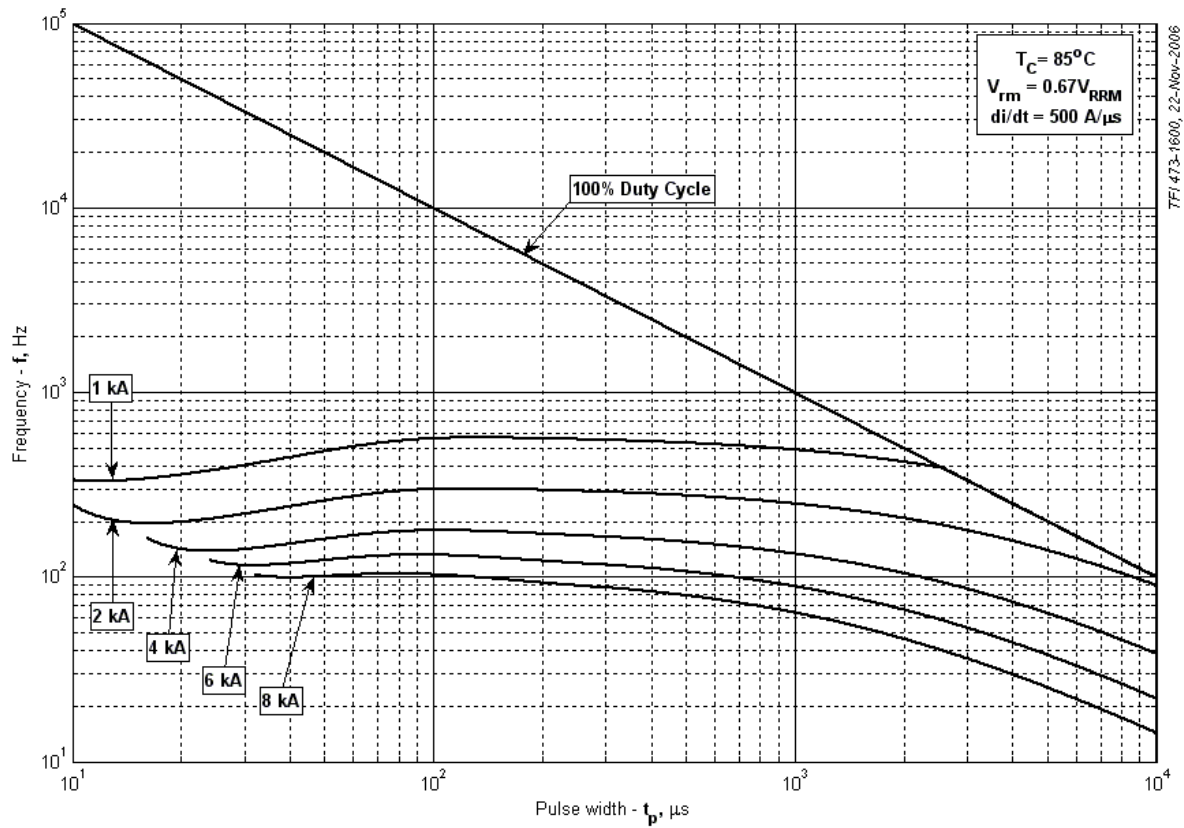


Fig 25 – Square wave frequency ratings

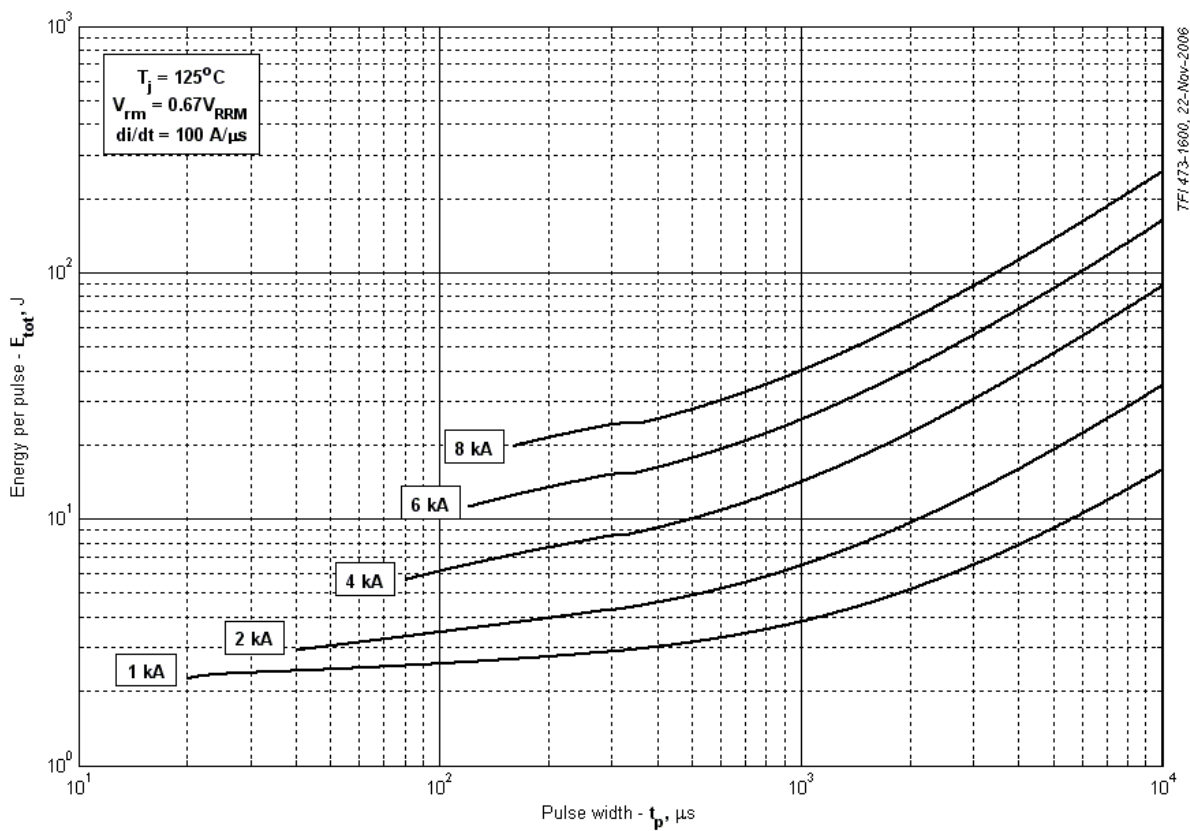


Fig 26 – Square wave energy per pulse

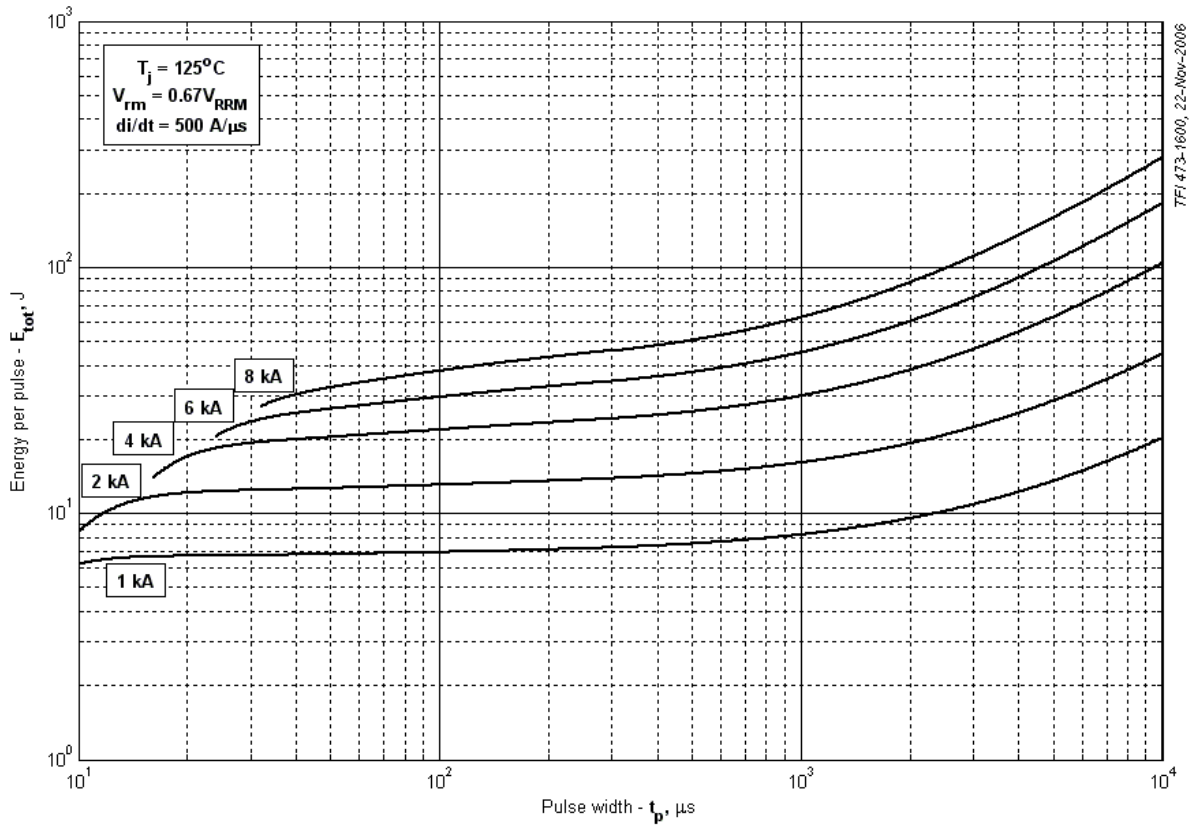


Fig 27 – Square wave energy per pulse

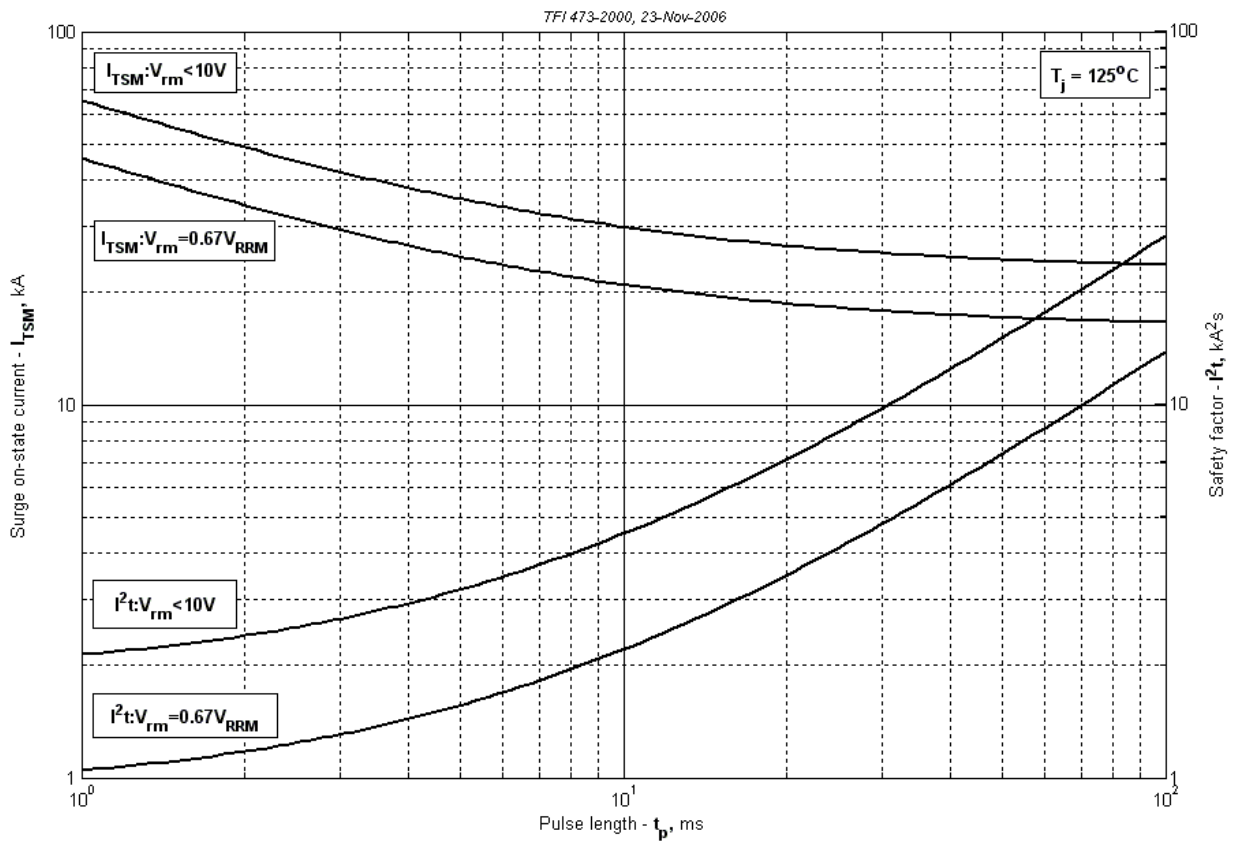


Fig 29 – Maximum surge and  $I^2t$  ratings

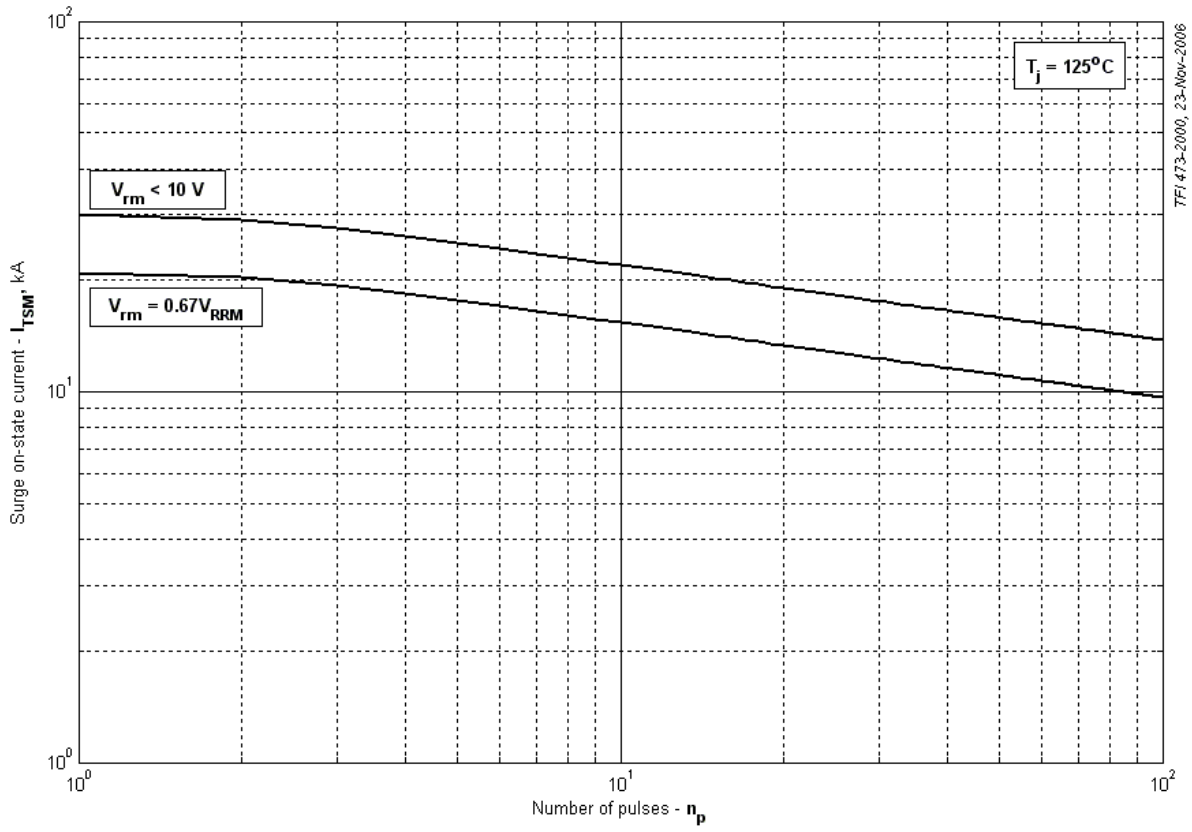


Fig 30 – Maximum surge ratings